

Министерство просвещения Российской Федерации

Муниципальное автономное общеобразовательное учреждение
средняя общеобразовательная школа № 2
имени Ивана Михайловича Суворова станицы Павловской
Краснодарского края

VIII Международный конкурс исследовательских работ школьников

Исследовательский проект

**Программирование алгоритма
построения сечения многогранников**

Выполнил: Михайлевский Артём Александрович

Ученик 10 Б класса

Руководитель: Черемискина Людмила Павловна

Учитель математики и информатики

2025-2026 г.

Содержание:

| | |
|--|----|
| Введение..... | 2 |
| 1. Теоретическая часть..... | 4 |
| 1.1. История метода сечений и его цифровая трансформация..... | 4 |
| 1.2. Классификация трёхмерных фигур | 4 |
| 2. Практическая часть | 6 |
| 2.1. Обоснование выбора инструментов и архитектуры приложения | 6 |
| 2.2. Процесс программирования сечений для различных классов фигур..... | 6 |
| 2.3. Аналитическая таблица..... | 7 |
| Заключение | 9 |
| Литература | 10 |
| Приложение 1 | 11 |
| Приложение 2 | 13 |
| Приложение 3 | 14 |
| Приложение 4 | 15 |
| Приложение 5 | 17 |
| Приложение 6 | 18 |
| Приложение 7 | 19 |
| Приложение 8 | 20 |
| Приложение 9 | 21 |
| Приложение 10 | 22 |

МИХАЙЛЕВСКИЙ Артём Александрович

Краснодарский край, Павловский район, станица Павловская

Муниципальное автономное общеобразовательное учреждение

средняя общеобразовательная школа № 2 имени Ивана Михайловича Суворова
ст. Павловской, 10 класс

ПРОГРАММИРОВАНИЕ АЛГОРИТМА ПОСТРОЕНИЯ СЕЧЕНИЯ МНОГОГРАННИКОВ

*Научный руководитель: Черемискина Людмила Павловна, учитель математики
и информатики МАОУ СОШ № 2 им. И.М. Суворова, Павловский район, станица
Павловская*

Введение

Актуальность. В современном школьном курсе стереометрии изучение пространственных фигур и построение их сечений традиционно вызывает значительные трудности у учащихся. Согласно статистике Всероссийского центра изучения общественного мнения (2025), более половины учащихся 10–11 классов испытывают когнитивные затруднения при переходе от плоскостных чертежей к трёхмерным образам. Ученикам сложно представить взаимное расположение точек, прямых и плоскостей в трёхмерном пространстве, оперируя лишь статичными изображениями в учебнике или на доске.

Проблема исследования. Как программно реализовать универсальный, математически корректный и производительный алгоритм построения плоскости сечения по трём произвольным точкам для различных типов трёхмерных объектов (призмы, пирамиды, тела вращения) в интерактивном веб-приложении, работающем в браузере без установки дополнительного ПО?

Цель – разработать веб-сайт с использованием библиотеки Three.js, позволяющий визуализировать многогранники и тела вращения, а также строить их сечения по трём произвольно заданным пользователем точкам с высокой точностью позиционирования и наглядностью отображения.

Объект исследования – процесс трёхмерного моделирования сечений геометрических тел в виртуальном пространстве, реализованный средствами Three.js.

Предмет исследования – алгоритмы и методы библиотеки Three.js для интерактивного определения координат точек на поверхности фигуры и последующего построения секущей плоскости.

Гипотеза. Возможно создать универсальную программную среду, в которой построение плоскости сечения для любого типа фигур (включая тела вращения, не имеющие рёбер и

плоских граней) будет выполняться по единому принципу: пользователь задаёт три точки с помощью кликов мыши, после чего программно вычисляется и отображается текущая плоскость, ограниченная габаритами фигуры для улучшения визуального восприятия.

Задачи. Изучить HTML, CSS, Javascript и Three.js; разработать пользовательский интерфейс сайта; запрограммировать алгоритм построения сечений фигур; сделать выводы об проделанной работе.

Методологическая основа. При разработке программная реализация базируется на открытой библиотеке Three.js (автор Ricardo Cabello) и официальной документации к ней.

В процессе исследования применялись методы сравнительного анализа, математического моделирования, объектно-ориентированного программирования, модульного тестирования.

Практическая значимость. Разработанный веб-сайт может быть непосредственно использован: учителями математики на уроках стереометрии в 10–11 классах при изучении темы «Построение сечений многогранников»; учащимися для самостоятельной подготовки и самопроверки;

1. Теоретическая часть

1.1. История метода сечений и его цифровая трансформация

Метод сечений (или метод следов) является классическим инструментом начертательной геометрии и стереометрии. Суть метода заключается в построении линии пересечения заданной плоскости с поверхностью тела. В традиционном школьном курсе сечение строится последовательно: находятся точки пересечения плоскости с рёбрами многогранника, затем эти точки соединяются отрезками.

С развитием компьютерной техники во второй половине XX века возникла задача автоматизации этого процесса. Первые системы автоматизированного проектирования (CAD), такие как Sketchpad (1963) и позднее AutoCAD (1982), уже содержали инструменты для построения сечений. Переломным моментом стало появление твердотельного моделирования в конце 1980-х годов. Системы, основанные на конструктивной блочной геометрии (CSG), позволили оперировать трёхмерными примитивами и выполнять над ними булевы операции, включая вычитание и пересечение. Сечение в таких системах стало частным случаем булевой операции пересечения тела с бесконечной полуплоскостью.

В начале XXI века с ростом производительности GPU появилась возможность выполнять подобные вычисления в реальном времени. Технологии OpenGL и WebGL предоставили механизм плоскостей отсечения (clipping planes), позволяющих «срезать» геометрию аппаратно. Однако этот метод не даёт в явном виде многоугольник сечения, что ограничивает его применение в образовательных задачах. Параллельно развивались векторные методы вычисления пересечения луча с поверхностью, широко применяемые в трассировке лучей. Именно этот подход был выбран в данной работе для реализации позиционирования точек на цилиндре и конусе, поскольку он обеспечивает субпиксельную точность и полный контроль над процессом.

1.2. Классификация трёхмерных фигур

Для разработки корректного и расширяемого программного обеспечения необходимо чётко классифицировать типы фигур. В школьном курсе стереометрии можно выделить две крупные категории:

1. Многогранники – тела, поверхность которых состоит из конечного числа плоских многоугольников:

- призмы (треугольная, шестиугольная, прямоугольный параллелепипед/куб);
- пирамиды (четырёхугольная, шестиугольная);
- правильные многогранники (тетраэдр).

2. Тела вращения – тела, полученные вращением плоской фигуры вокруг оси:

- цилиндр (вращение прямоугольника);
- конус (вращение прямоугольного треугольника).

С точки зрения компьютерной графики, все эти фигуры могут быть представлены двумя основными способами [1, с. 78]:

А. Полигональные сетки (Polygon Meshes). Фигура описывается множеством вершин и треугольников (или четырёхугольников), которые аппроксимируют её поверхность. Этот способ универсален и поддерживается всеми графическими API. Именно он используется для куба, призм, пирамид и тетраэдра в данном проекте. Преимущества: простота рендеринга, возможность использования стандартного рейкастинга. Недостатки: неточная передача криволинейных поверхностей без большого количества полигонов.

Б. Параметрические поверхности. Фигура описывается математическим уравнением. В чистом виде такой подход редко используется для рендеринга, но идеально подходит для точных пересечений с лучом.

В разрабатываемом приложении используется гибридный подход: для визуализации цилиндра и конуса применяются встроенные примитивы Three.js, а для определения координат точки клика используется собственный математический решатель, вычисляющий пересечение с идеальной математической поверхностью.

2. Практическая часть

2.1. Обоснование выбора инструментов и архитектуры приложения

Для реализации проекта была выбрана библиотека Three.js — наиболее популярная и документированная надстройка над WebGL. [2] Она позволяет абстрагироваться от низкоуровневых вызовов графического API и быстро создавать сцены с освещением, тенями и камерой.

Архитектура приложения модульная: под каждую фигуру создана отдельная HTML-страница и соответствующий JavaScript-файл (main.js). Это сделано для упрощения навигации и независимости компонентов. Визуально страницы объединены общим стилем (фон #0f0f1f, синие тона фигур, красные маркеры). Основные модули включают:

- инициализацию сцены, камеры, освещения и элементов управления (OrbitControls);
- функцию создания конкретной фигуры;
- массив для хранения сфер-маркеров;
- функции createSphere, removeSphere;
- алгоритм raycaster для обработки кликов;
- функцию createPlaneThroughSpheres.

В главном меню сайта (index.html) реализован каталог фигур с превью-изображениями, что обеспечивает удобную навигацию.

2.2. Процесс программирования сечений для различных классов фигур

Общий принцип. На сцене присутствует одна фигура. Пользователь кликает левой кнопкой мыши по её поверхности. Поскольку фигура является мешем (Mesh), Three.js позволяет получить точку пересечения луча из камеры с геометрией объекта (Raycaster.intersectObject). В этой точке создаётся сфера красного цвета с подсветкой. Всего можно создать не более трёх сфер.

Особенности реализации для многогранников (куб, призма, пирамида, тетраэдр). Для этих фигур используется стандартный механизм рейкастинга по мешу. У куба (BoxGeometry) и тетраэдра (собранный вручную из вершин) точно определяются координаты пересечения с гранью. При создании сферы её позиция копирует точку пересечения (intersect.point). Для предотвращения случайных кликов по рёбрам (которые тоже являются объектами LineSegments) в коде добавлена проверка userData.type. Рёбра помечены как edge и игнорируются.

Особенности реализации для тел вращения (цилиндр, конус). Стандартный рейкастинг Three.js для CylinderGeometry и ConeGeometry корректно работает, однако было принято решение реализовать собственный математический алгоритм пересечения луча с

поверхностью. Это сделано для демонстрации глубокого понимания геометрии. Функции `getIntersectionPointWithCylinder` и `getIntersectionPointWithCone` решают квадратное уравнение поверхности:

- Для цилиндра: $x^2 + z^2 = R^2$, ограничение по y от 0 до высоты.
- Для конуса: $x^2 + z^2 = (R/H)^2 * (H - y)^2$.

Данные функции также обрабатывают пересечения с основаниями (для цилиндра — круги сверху и снизу, для конуса — только основание). Это позволяет ставить точки строго на поверхности фигуры, включая торцы.

Построение плоскости. Как только массив `spheres` достигает длины 3, вызывается функция `createPlaneThroughSpheres()`. Она:

1. Удаляет предыдущую плоскость (если она была).
2. Вычисляет два вектора $v1 = p2 - p1$, $v2 = p3 - p1$.
3. Находит нормаль $n = v1 \times v2$, нормализует её.
4. Создает геометрию `PlaneGeometry` размером 20x20.
5. Помещает центр плоскости в центр тяжести трёх точек.
6. Ориентирует плоскость по нормали с помощью `lookAt()`.
7. Добавляет зелёный контур.

2.3. Аналитическая таблица

В ходе разработки были зафиксированы ключевые параметры для каждого типа фигур. Результаты представлены в таблице 1.

Сравнение методов реализации для разных типов фигур

| Тип фигуры | Способ создания геометрии | Метод определения точки клика | Наличие артефактов |
|-------------------------|--|----------------------------------|--------------------|
| Куб / Параллелепипед | <code>VoxGeometry</code> | <code>Raycaster</code> (штатный) | Нет |
| Треугольная призма | <code>BufferGeometry</code> по вершинам | <code>Raycaster</code> (штатный) | Нет |
| Шестиугольная призма | <code>BufferGeometry</code> (14 вершин) | <code>Raycaster</code> (штатный) | Нет |
| Тетраэдр | <code>BufferGeometry</code> (4 вершины) | <code>Raycaster</code> (штатный) | Нет |
| 4-уг. пирамида | <code>BufferGeometry</code> (1 вершина + квадрат) | <code>Raycaster</code> (штатный) | Нет |

| | | | |
|----------------|--------------------------------------|-------------------------|-----|
| 6-уг. пирамида | BufferGeometry (1 вершина + 6 углов) | Raycaster (штатный) | Нет |
| Цилиндр | CylinderGeometry | Математический решатель | Нет |
| Конус | ConeGeometry | Математический решатель | Нет |

Как видно из таблицы 1, все 8 типов фигур успешно реализованы. Для многогранников использован стандартный рейкастинг, для тел вращения — математический решатель. Артефактов визуализации не обнаружено.

Заключение

В рамках данной исследовательской работы была достигнута поставленная цель: разработан веб-сайт для интерактивного построения сечений пространственных фигур. Продукт полностью функционирует.

В соответствии с задачами работы:

1. Изучена история вопроса: от метода следов в начертательной геометрии до современных алгоритмов компьютерной графики.
2. Рассмотрены три подхода к реализации сечений, выбран оптимальный для образовательного веб-проекта.
3. Спроектирована структура сайта, состоящая из главной страницы-каталога и страниц фигур.
4. Реализованы модели 8 геометрических тел с использованием различных техник Three.js.
5. Разработан механизм установки точек на основе Raycaster и собственных математических вычислений.
6. Реализована динамическая визуализация секущей плоскости, изменяющей своё положение и ориентацию по трём точкам.

Гипотеза, выдвинутая во введении, подтвердилась полностью: универсальный подход (плоскость как маркер) действительно позволил в едином стиле реализовать сечение и для куба, и для конуса, несмотря на разницу в их геометрических свойствах.

Ценность работы. Для автора работа стала возможностью применить знания по векторной алгебре и программированию на JavaScript для создания реально работающего продукта. Для образовательного сообщества сайт даёт бесплатный и наглядный инструмент для изучения стереометрии. В дальнейшем планируется добавить возможность автоматического построения точного многоугольника сечения для многогранников (вычисление вершин и соединение их линиями красного цвета), а также реализовать сечение сферы.

Литература

1. Dirksen, J. Learn Three.js: Program 3D animations and visualizations for the web with JavaScript. – Бирмингем: Packt Publishing, 2023. – 554.
2. Three.js Documentation / Official Three.js website. – URL: <https://threejs.org/docs/> (дата обращения: 15.10.2025).

Приложение 1

Листинг функции построения плоскости по трём точкам (файл main.js для куба)

```
javascript
// Создание плоскости через три сферы
function createPlaneThroughSpheres() {
  if (spheres.length < 3) return;

  // Удаляем старую плоскость
  if (plane) {
    scene.remove(plane);
    plane.geometry.dispose();
    plane.material.dispose();
  }

  // Получаем позиции сфер
  const p1 = spheres[0].position;
  const p2 = spheres[1].position;
  const p3 = spheres[2].position;

  // Вычисляем нормаль плоскости
  const v1 = new THREE.Vector3().subVectors(p2, p1);
  const v2 = new THREE.Vector3().subVectors(p3, p1);
  const normal = new THREE.Vector3().crossVectors(v1, v2).normalize();

  // Создаем геометрию плоскости
  const planeGeometry = new THREE.PlaneGeometry(20, 20);
  // Центр плоскости
  const center = new THREE.Vector3()
    .add(p1)
    .add(p2)
    .add(p3)
    .multiplyScalar(1/3);

  // Создаем и настраиваем плоскость
  plane = new THREE.Mesh(planeGeometry, planeMaterial);
```

```
plane.position.copy(center);
plane.lookAt(center.clone().add(normal));

// Добавляем контур
const edges = new THREE.EdgesGeometry(planeGeometry);
const lineMaterial = new THREE.LineBasicMaterial({ color: 0x27ae60 });
const edgesMesh = new THREE.LineSegments(edges, lineMaterial);
plane.add(edgesMesh);

scene.add(plane);
}
```

Приложение 2

Листинг функции вычисления пересечения с конусом (файл main.js для конуса)

javascript

```
function getIntersectionPointWithCone(ray) {
    const height = 4;
    const radius = 2.5;
    const slope = radius / height;

    const ox = ray.origin.x, oy = ray.origin.y, oz = ray.origin.z;
    const dx = ray.direction.x, dy = ray.direction.y, dz = ray.direction.z;

    const A = dx*dx + dz*dz - slope*slope*dy*dy;
    const B = 2*(ox*dx + oz*dz + slope*slope*dy*(height - oy));
    const C = ox*ox + oz*oz - slope*slope*(height - oy)*(height - oy);

    const discriminant = B*B - 4*A*C;
    if (discriminant < 0) return null;

    const sqrtDisc = Math.sqrt(discriminant);
    const t1 = (-B + sqrtDisc) / (2*A);
    const t2 = (-B - sqrtDisc) / (2*A);

    let t = null;
    if (t1 > 0 && t2 > 0) t = Math.min(t1, t2);
    else if (t1 > 0) t = t1;
    else if (t2 > 0) t = t2;
    else return null;

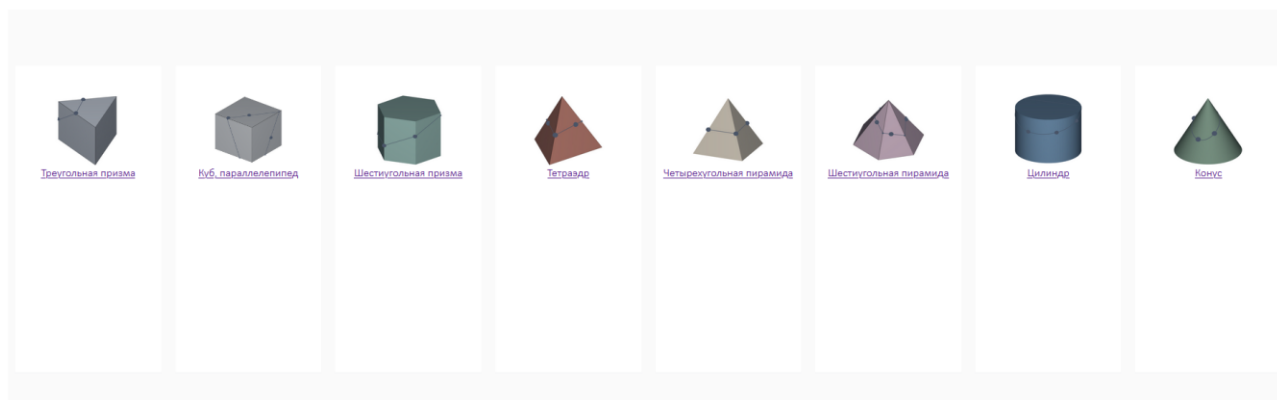
    const point = new THREE.Vector3(
        ox + t * dx,
        oy + t * dy,
        oz + t * dz
    );
    if (point.y < 0 || point.y > height) return null;
    return point;
}
```

Приложение 3

Скриншот главной страницы сайта

Модели при построении сечений

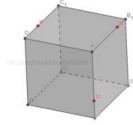
На этом сайте вы найдете 3D модели основных многогранников и тел вращения из школьного курса стереометрии. Можно автоматически по трем точкам построить сечение и рассмотреть его с любого ракурса.



Приложение 4

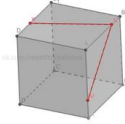
Скриншот страницы сайта

Построить сечение по трем точкам
K, M, N

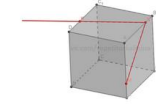


Для наглядности все линии и точки сечения будут начерчены **красным**, а ребра многогранника - серым.

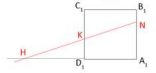
1. В какой плоскости грани есть 2 красные точки?
K, N лежат в верхней грани, можно соединить
M, N лежат в правой боковой плоскости, тоже соединим
Построенные отрезки принадлежат сечению.



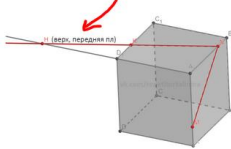
2. Больше таких точек нет? Продлеваем линию сечения.
(Можно в обе стороны или в направлении перспективной, то есть в ту, в которой сечение не замкнуто)



Линия находится в верхней плоскости. Начертим ее отдельно. Пересекается с A_1D_1 в точке H.

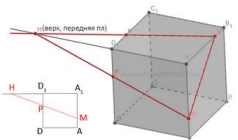


Переносим построение на основной чертеж.
Так как A_1D_1 лежит в верхней и передней плоскостях, то и точка H тоже. Можно отметить это на чертеже.

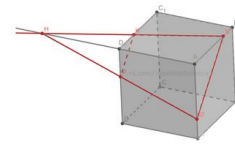


3. Возвращаемся к первому пункту
1. В какой плоскости грани есть 2 красные точки?
M, N лежат в передней грани, можно соединить.
MH пересечет DD_1 в точке P.

Можно в этом убедиться, сделав отдельный чертеж (вид сверху).



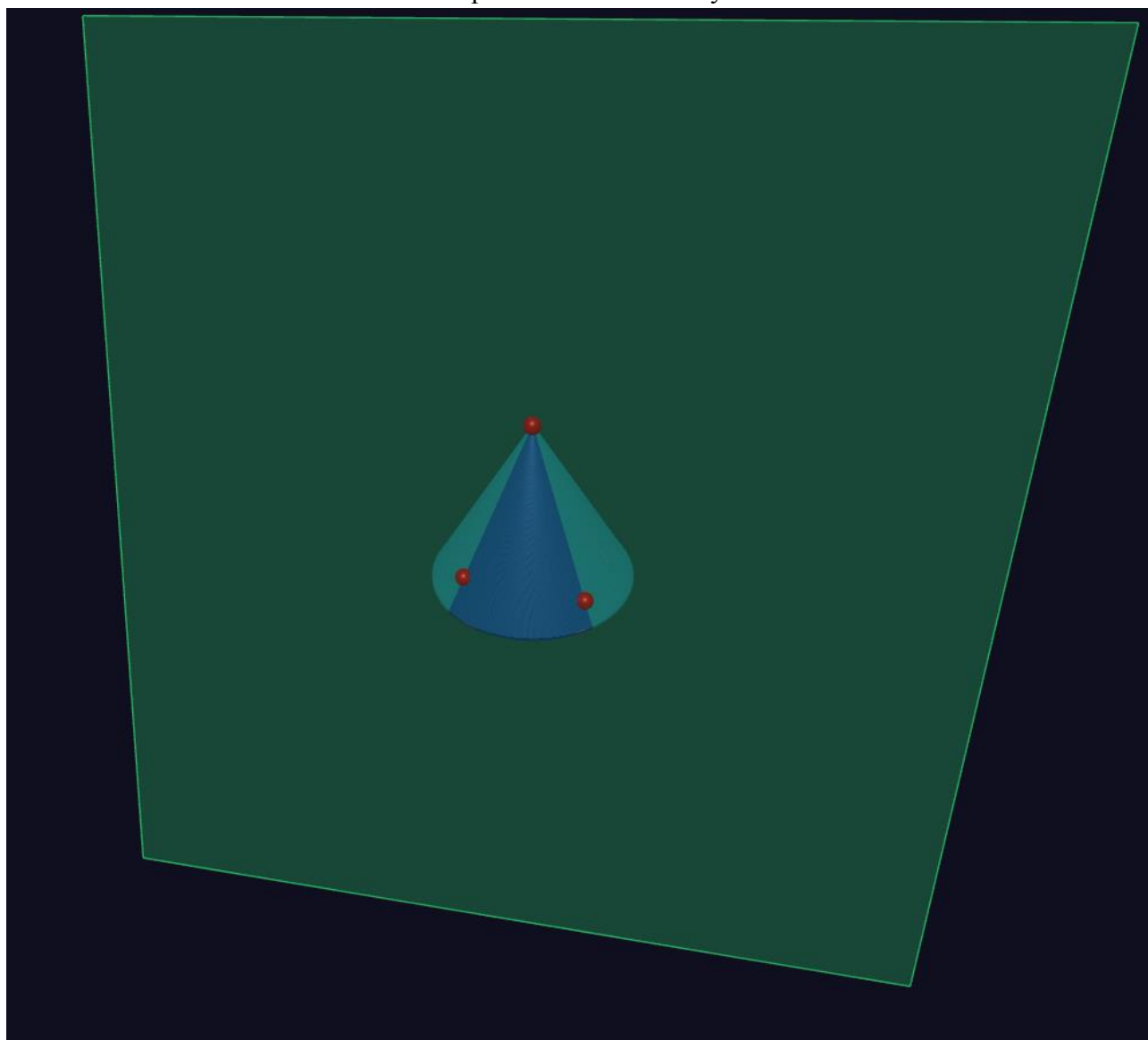
P, K лежат в левой плоскости, соединим.



Все! Линия замкнулась. MNP - сечение.

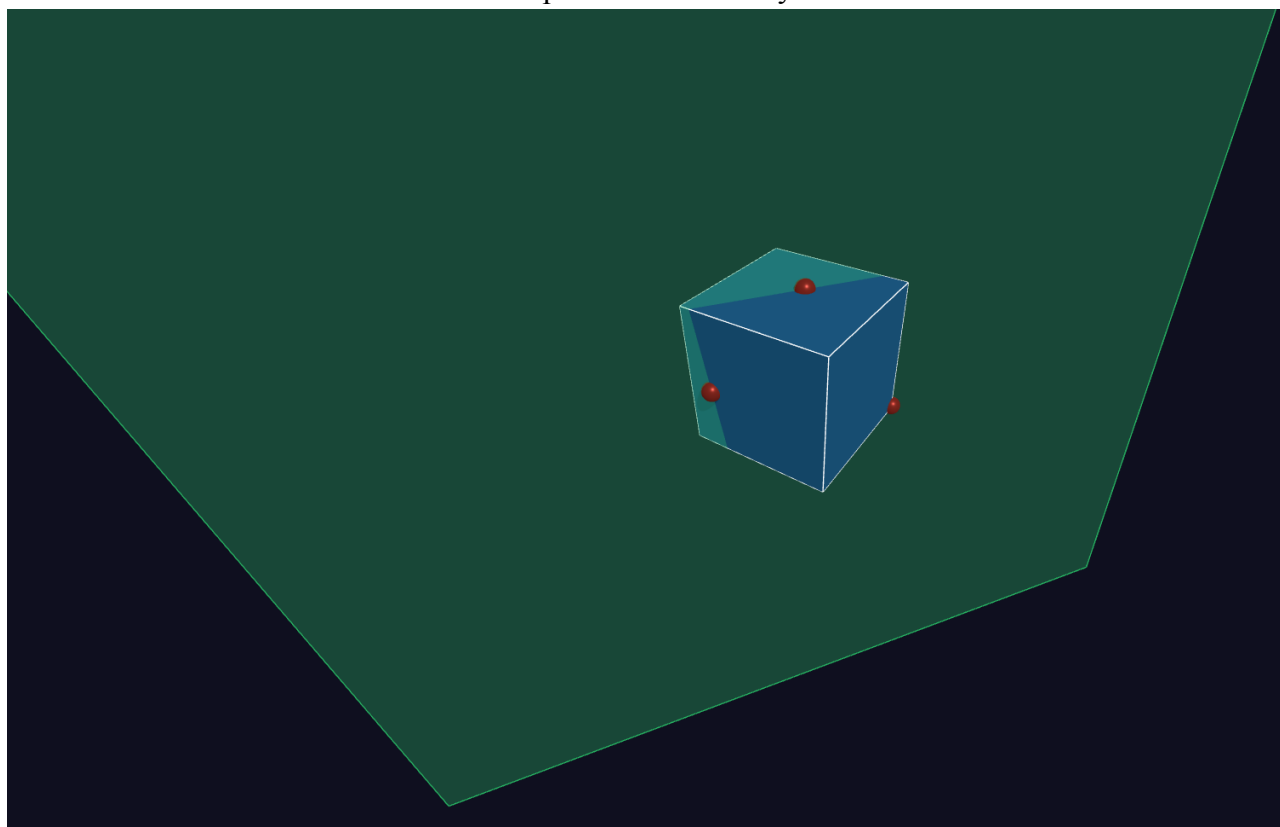
Приложение 5

Построение сечения конуса



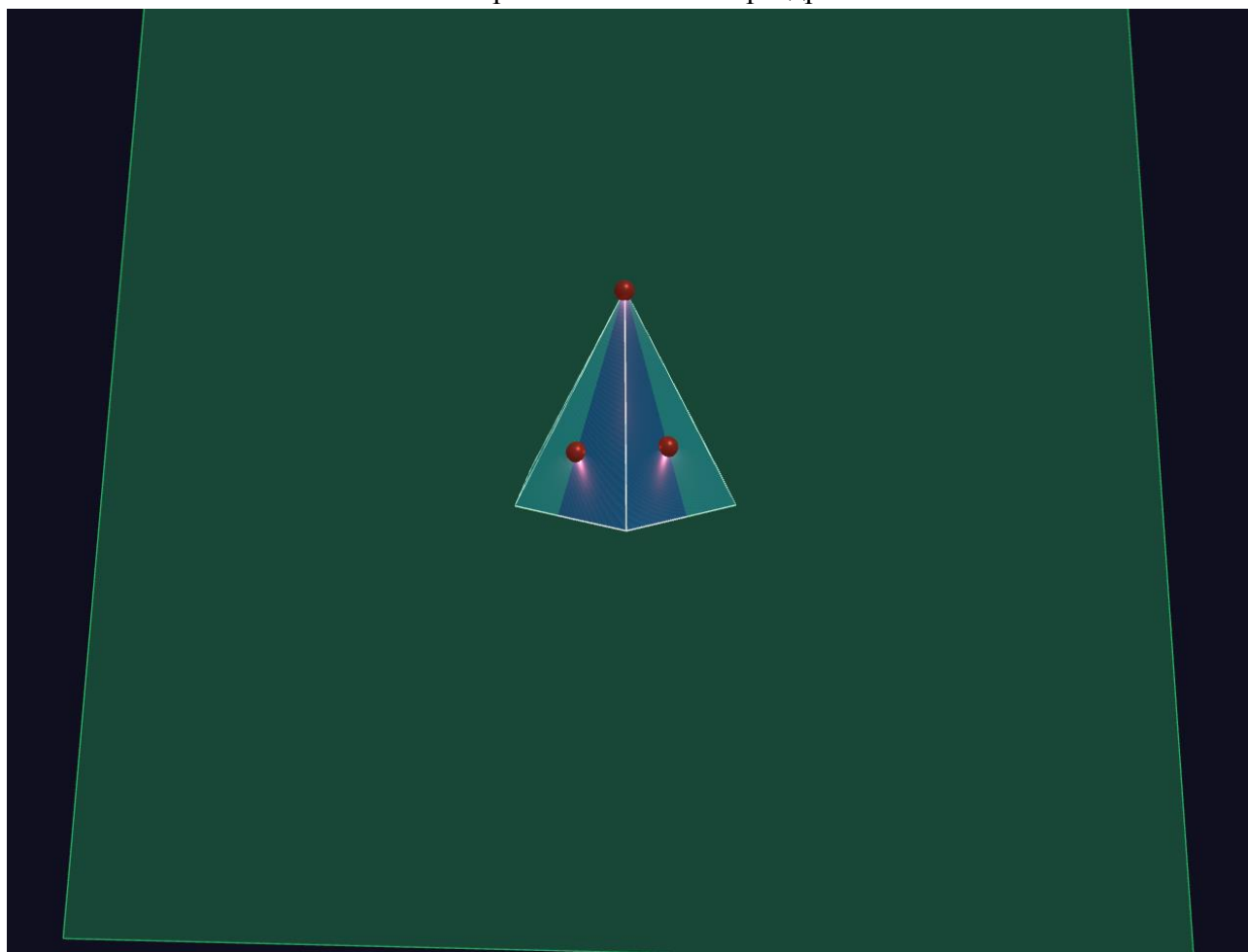
Приложение 6

Построение сечения куба



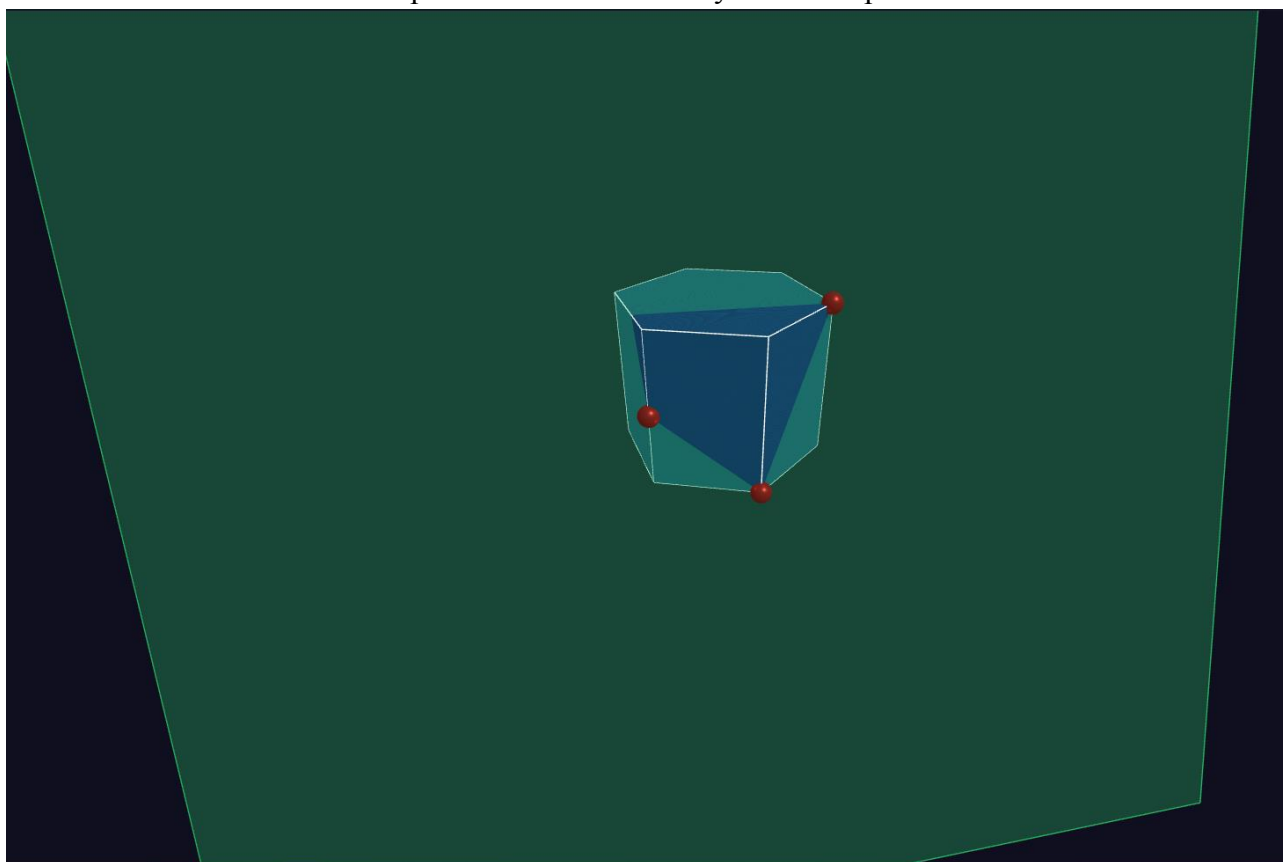
Приложение 7

Построение сечения тетраэдра



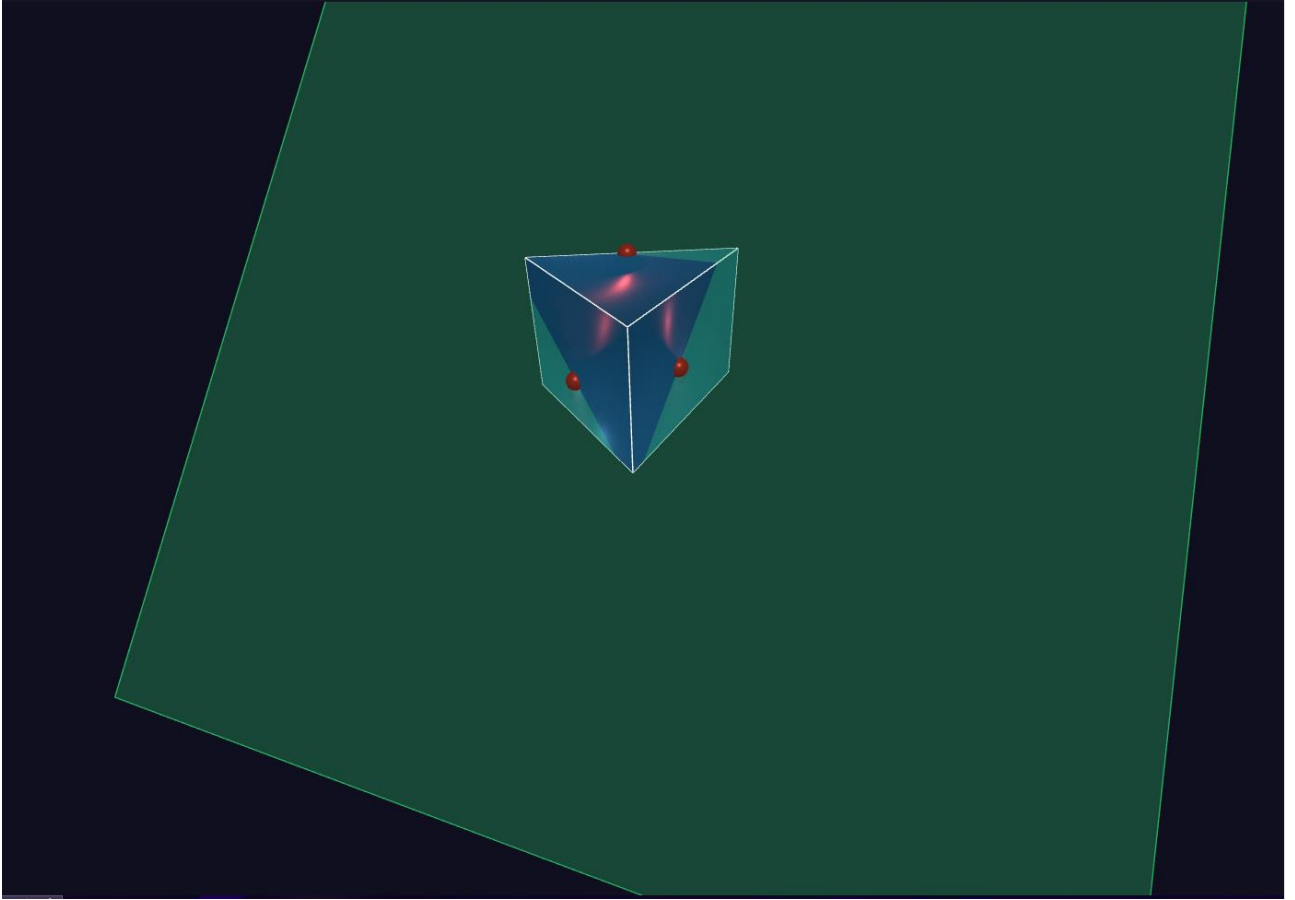
Приложение 8

Построение сечения шестиугольной призмы



Приложение 9

Построение сечения треугольной призмы



Приложение 10

Построение сечения цилиндра

